

ابره‌های کومه‌ای از دیدگاه سطوح زبر

جعفر چراغعلی‌زاده^۱، مرتضی نطق نجفی^{۲*} و احد صابر تازه‌کند^۳

۱. دانشجوی دکتری، گروه فیزیک، دانشگاه محقق اردبیلی، اردبیل، ایران

۲. دانشیار، گروه فیزیک، دانشگاه محقق اردبیلی، اردبیل، ایران

۳. استادیار، گروه فیزیک، دانشگاه محقق اردبیلی، اردبیل، ایران

(دریافت: ۹۹/۷/۲۰، پذیرش نهایی: ۹۹/۱۱/۵)

چکیده

ابرها با پراکنده کردن تابش دریافتی از خورشید نقش زیادی را در توازن انرژی زمین ایفا می‌کنند. ما در این مقاله نقشه‌ی دوبعدی شدت نور مرئی رسیده از ابرهای کومه‌ای (Cumulus) که توسط دوربین عکاسی به ثبت رسیده است را مورد بررسی قرار می‌دهیم. با به‌کارگیری تکنیک‌های مربوط به سطوح زبر، خواص آماری لگاریتم این شدت (به‌عنوان یک میدان افت‌وخیزدار دوبعدی) را مطالعه می‌کنیم. تخمین‌های عددی ما نشان می‌دهد که نمای زبری محلی و سرتاسری به ترتیب $\alpha_l = 0.67 \pm 0.05$ و $\alpha_g = 0.63 \pm 0.05$ هستند. همچنین نشان می‌دهیم که تابع توزیع لگاریتم شدت و همچنین تابع توزیع انحنای موضعی مربوطه (به‌ازای مقیاس‌های مختلف) گاوسی نیستند و در نتیجه سطح دوبعدی در نظر گرفته شده غیرگاوسی است. با دانش به این که پستی‌وبلندی ابرها و در حالت کلی آمار ارتفاع و ضخامت ابرها تأثیری مهم در پراکندگی و جذب تابش خورشید دارند، به بررسی ارتباط شدت‌نور رسیده از ابر و ضخامت آن می‌پردازیم. برای این منظور نور پراکنده شده از ابرهای کومه‌ای را با استفاده از یک مدل درشت دانه شده پدیده شناختی بر پایه پراکندگی می‌شبه‌سازی می‌کنیم. نتایج این شبیه‌سازی نشان می‌دهد که برای تابش عمودی و غیرعمودی، شدت‌نور رسیده از پایین ابر به‌صورت نمایی با ارتفاع ستون ابر درست در بالای آن کاهش می‌یابد. در حوزه اعتبار نتایج این شبیه‌سازی، می‌توان ادعا کرد که مسئله ضخامت ابرهای کومه‌ای به سطح زبر غیرگاوسی خود متشابه نگاشت می‌شود.

واژه‌های کلیدی: ابرهای کومه‌ای، پراکندگی نور مرئی از سطح ابر، سطوح زبر خودمتشابه، برخال.

۱. مقدمه

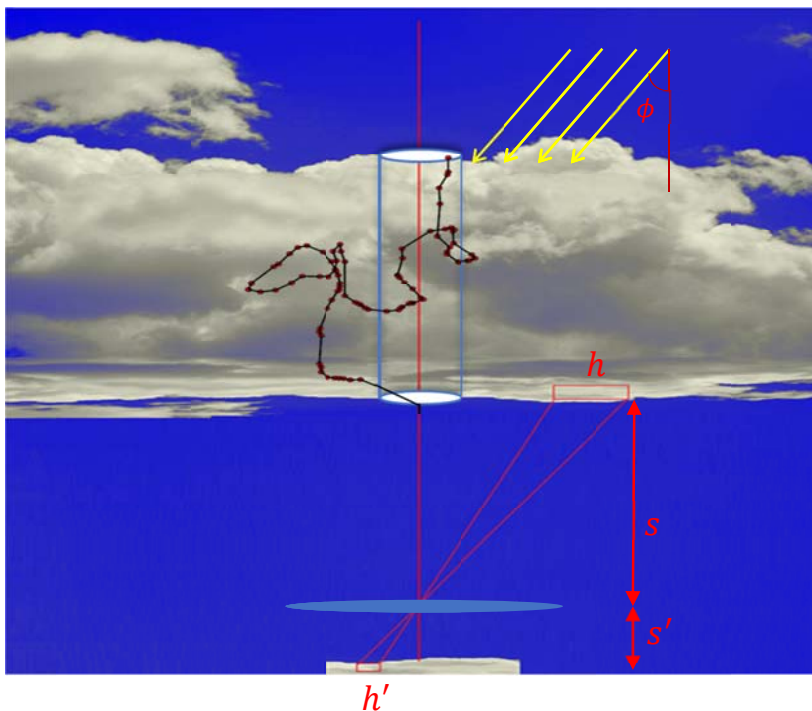
برخی مطالعات به بررسی ارتباط بعد برخالی محیط بارش باران و مساحت ابر در مقیاس‌های مختلف پرداخته شده است (لاوجوی و شرترز، ۱۹۹۱؛ پلتیر، ۱۹۹۷؛ ریس و والدبوگر، ۱۹۸۶). ابعاد برخالی مختلفی برای ابرها گزارش شده است (هرتشل و پروکاجیا، ۱۹۸۴؛ سانچز و همکاران، ۲۰۰۵) که نشان‌دهنده اهمیت ویژه آن است. ساختارهای برخالی نقش عمده‌ای در بازتاب و جذب انرژی خورشید دارند (تکهکارا و گو، ۲۰۱۷). در این میان زبری ابر که همان افت‌وخیز ضخامت آن است، نقش اساسی دارد (توتومی و همکاران، ۱۹۶۷). بررسی مسئله زبری و آمار ارتفاع یا ضخامت ابرها اهمیت بسیاری در پیش‌بینی اثرات و رفتارهای آنها دارد. همچنین از دیدگاه پدیده‌های بحرانی، تعیین نماهای بحرانی نقش قابل توجهی را در طبقه‌بندی و تعیین رفتار جهان‌شمولی این سیستم‌های غیرتعادلی ایفا می‌کند که خود اهمیت فیزیکی فراوانی

سطوح تصادفی به‌طور گسترده در علم فیزیک برای مدل کردن پدیده‌ها با مقیاس‌های مختلف مانند رشد سطوح زبر در مقیاس نانو و میکرو تا سیستم‌های خیلی بزرگ در مقیاس کیهانی استفاده می‌شود. آنها همچنین توصیف‌کننده ترک‌ها در علم مواد (بوشو و همکاران، ۱۹۹۰ و ۱۹۹۳)، ریز موج‌های تشکیل شده در تلاطم (Ripple-Wave Turbulence) (رایت و همکاران، ۱۹۹۷) و ردیاب‌های انفعالی در جریان شاره‌های دو بعدی (رامشانکار و همکاران، ۱۹۹۱؛ کاردوس و همکاران، ۱۹۹۶) هستند. ابرها مثالی طبیعی از سطوح زبر تصادفی هستند که در آنها ارتفاع و یا ضخامت نقش میدان افت‌وخیزدار زبر را بازی می‌کند (پلتیر، ۱۹۹۷). امروزه ما به‌خوبی می‌دانیم که ابرها ساختار برخالی دقیقی دارند که اولین بار توسط لاوجوی (۱۹۸۲) کشف شده است. جنبه‌های بسیاری از این محیط‌ها شناخته شده است. در

پراکنده شدن نور در داخل ابرها قطرات آب یا یخ و ذرات گرد و خاک معلق در هوا هستند (پلاس و کاتاور، ۱۹۷۱). در هر دو حالت سطح مقطع پراکندگی نور مرئی به توزیع شعاع این ذرات بستگی دارد که عمدتاً توزیع گاما در نظر گرفته می‌شود (لوین، ۱۹۵۸). به‌طور کلی در مسئله پراکندگی نور از ذرات اگر اندازه آنها خیلی کوچک‌تر از طول‌موج فرودی باشد، از نظریه پراکندگی رابلی (Rayleigh scattering) و در حالتی که ذرات خیلی بزرگ‌تر از طول‌موج نور باشد از قوانین اپتیکی استفاده می‌شود. همچنین برای حالتی که اندازه ذرات قابل‌مقایسه با طول‌موج رسیده نور فرودی باشد، از نظریه پراکندگی می (Mie scattering) استفاده می‌شود که در آن سطح مقطع پراکندگی با λ^{-2} متناسب است. در مسئله پراکندگی نور از ابرهای کومه‌ای، به‌دلیل اندازه ذرات تشکیل‌دهنده آنها، پراکندگی می به‌کار گرفته می‌شود.

دارد. در واقع این طبقه‌بندی به ما کمک می‌کند که سیستم‌های پیچیده‌ای مانند ابر را به مدل‌های ساده‌تری ربط دهیم که بررسی آنها بسیار ساده‌تر است (نجفی و همکاران، ۲۰۲۰). به بیان دیگر سیستم‌هایی که در مقیاس میکروسکوپی دینامیک کاملاً متفاوتی دارند، در مقیاس ماکروسکوپی ویژگی یکسانی دارند. با بررسی این خواص برخی ویژگی‌های ابرها به‌دست می‌آید و علی‌رغم وجود درجات آزادی زیاد داخلی، بامدل‌های ساده‌تری توصیف می‌شود (ناگل و راشکه، ۱۹۹۲).

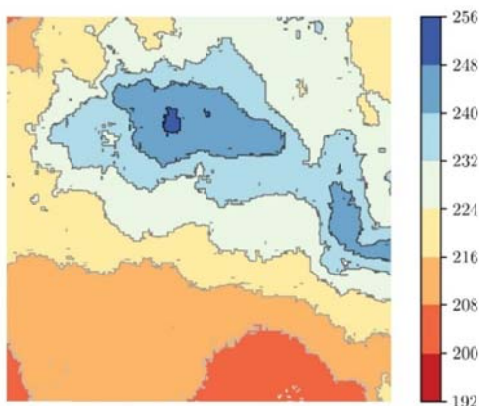
ابرها تأثیر به‌سزایی در تعادل تابشی زمین دارند. به‌طور کلی دو منبع اصلی برای نور پراکنده شده‌ای که از ابر به ما می‌رسد وجود دارد: نور پس‌زمینه آسمان که به‌طور عمده به رنگ آبی متمایل است و نوری که از سمت خورشید مستقیماً به ابرها می‌رسد. همچنین دو منبع برای



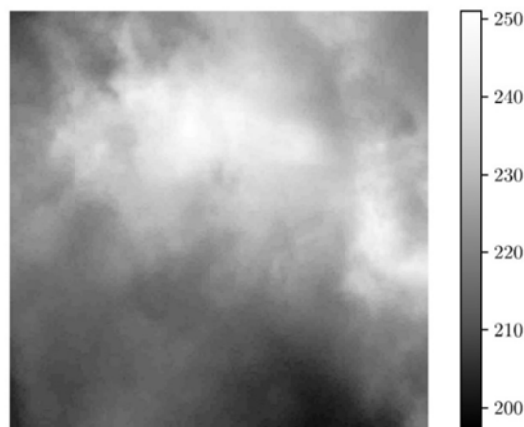
شکل ۱. تصویر شماتیک از چگونگی رسیدن نور از ابر به دوربین و چگونگی نگاهت نور پراکنده شده از یک تکه ابر به یک پیکسل دوربین.

مدل پیش‌بینی یک رابطه لگاریتمی بین ضخامت ابر و شدت نور پراکنده شده از آن است که نشان می‌دهد افت و خیز لگاریتم شدت نور می‌تواند معیاری از افت و خیز ضخامت ابر قلمداد شود. به دلیل تقریب‌ها و ساده‌سازی‌هایی که در این مدل به کار رفته است، حوزه اعتبار محدودی دارد و تعیین رابطه دقیق‌تر شدت نور پراکنده شده و ضخامت ابر نیاز به بررسی‌های بیشتر و شبیه‌سازی‌های گسترده‌تر دارد. دلیل این‌که ما به ابرهای کومه‌ای پرداخته‌ایم این است که این ابرها ساختار برخالی از خود نشان می‌دهند (لاوجوی، ۱۹۸۲).

در این مقاله با به‌کارگیری تکنیک‌های سطوح زبر، نقشه شدت نور مرئی پراکنده شده از ابرهای کومه‌ای بررسی می‌شود. توزیع شدت نور پراکنده شده با استفاده از دوربین عکاسی در راستاهای تقریباً قائم ثبت شده‌اند. این مقاله به دو بخش عمده تقسیم شده است. در بخش اول خواص آماری لگاریتم شدت نور پراکنده شده را بررسی کرده و نمای زبری و تابع توزیع آن را تحلیل می‌کنیم. در بخش دوم مدل پدیده شناختی درشت‌دانه شده‌ای را ارائه می‌کنیم که مبتنی بر پراکندگی می‌است. از نتایج مهم مربوط به شبیه‌سازی پراکندگی نور مرئی با استفاده از این

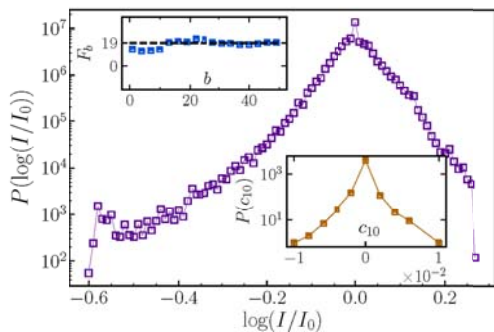


(ب)

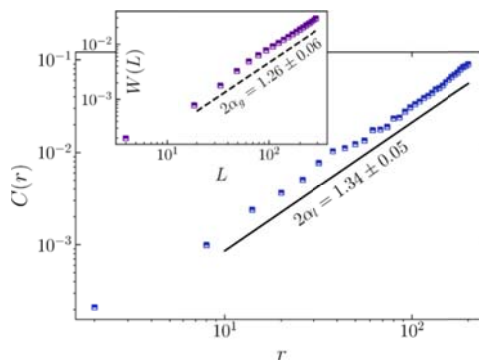


(الف)

شکل ۲. (الف) تصویر سیاه و سفید ابر که میزان شدت نور رسیده به دوربین را مشخص می‌کند. (ب) نقاط هم‌ارتفاع با رنگ‌های مختلف را نشان می‌دهد که با خط‌هایی با شدت‌های یکسان (هم‌ارتفاع) جدا شده‌اند.



(ب)



(الف)

شکل ۳. (الف) رفتار $C(r)$ برحسب r نمودار داخلی: رفتار $W(L)$ برحسب L . (ب) تابع توزیع لگاریتم شدت نور دریافتی $(f(r))$. نمودار داخلی بالا: F_b برحسب b . نمودار داخلی پایین: تابع توزیع C_{10} که نشان‌دهنده غیرگوسی بودن میدان است.

$$f(\vec{r}) = \log I(\vec{r}) \quad (1)$$

در نظریه استاندارد سطوح زبر بی‌مقیاس الگوهای رفتاری تحت بازمقیاس فضا تکرار می‌شوند که خودتشابهی (Self affinity) نامیده می‌شود. به این معنی که $f(\vec{r})$ به صورت زیر رفتار می‌کند.

$$f(\vec{r}) \stackrel{d}{\cong} b^{-\alpha} f(b\vec{r}) \quad (2)$$

که در این رابطه $\stackrel{d}{\cong}$ به معنای یکسان بودن توابع توزیع، $b > 0$ پارامتر بازمقیاس و α نمای زبری است. نمای زبری مهم‌ترین کمیت مشخصه‌یابی سطوح زبر بی‌مقیاس است. نشان داده شده است که این نما بایستی در شرط $\alpha \leq 1$ صدق کند (باراباسی و استنلی، ۱۹۹۵). در عمل برای به دست آوردن α از تابع همبستگی زیر استفاده می‌شود:

$$C(\vec{r}) \equiv \langle [f(\vec{r} + \vec{r}_0) - f(\vec{r})]^2 \rangle \quad (3)$$

که در آن $\langle \rangle$ نشان‌دهنده متوسط‌گیری همادی است. برای سطوح زبر مقیاس ناوردا این تابع همبستگی رفتار توانی به صورت $C(\vec{r}) \sim |\vec{r}|^{-2\alpha_l}$ دارد که در آن α_l را نمای زبری محلی (Local roughness exponent) می‌نامند (باراباسی و استنلی، ۱۹۹۵). شکل ۳-الف نمودار تمام لگاریتمی این تابع را بر حسب فاصله (r) نمایش می‌دهد. همان‌طور که دیده می‌شود، این تابع طبق پیش‌بینی مربوط به سطوح زبر مقیاس ناوردا به صورت توانی رفتار می‌کند که نمای $\alpha_l = 0.67 \pm 0.05$ را به دست می‌دهد. این به خوبی نشان می‌دهد که سطح در نظر گرفته شده یک سطح خود متشابه برخالی می‌باشد.

یکی دیگر از معیارهای طبقه‌بندی سطوح زبر، واریانس کل (سرتاسری) است که ویژگی مقیاس ناوردایی سطوح زبر را نشان می‌دهد. این تابع به صورت زیر تعریف می‌شود:

$$W(L) \equiv \langle [f(\vec{r}) - \bar{f}]^2 \rangle_L \quad (4)$$

در این رابطه $\bar{f} = \langle f(\vec{r}) \rangle_L$ متوسط فضایی میدان است و $\langle \rangle_L$ به معنی متوسط‌گیری فضایی (بر روی \vec{r}) برای میدان تحت بررسی در داخل جعبه‌ای به طول خطی L است. برای سطوح زبر مقیاس ناوردا، این تابع با $L^{-2\alpha_g}$ متناسب است که در آن پارامتر α_g نمای زبری سرتاسری

۲. مشاهدات مربوط به شدت نور

در این قسمت آمار شدت‌های رسیده از ابرها را با استفاده از تکنیک‌های استاندارد مربوط به سطوح زبر بررسی می‌کنیم. برای این منظور تعداد ۱۰۰ عکس با اندازه 1000×1000 پیکسل با استفاده از دوربین Nikon d7200 از ابرهای کومه‌ای گرفته شده است. سعی شده است که عکس‌ها در شرایط و در ساعات یکسانی گرفته شود. عکس‌ها در اردیبهشت و خرداد ماه سال ۱۳۹۸ در شهرستان اردبیل گرفته شده‌اند. جزئیات زمانی و مکانی عکس‌ها، زاویه خورشید با سطح زمین در زمان عکاسی و شرایط جوی در جدول ۱ نمایش داده شده است. به دلیل یکسان بودن نور پراکنده شده برای رنگ‌های مختلف، عکس‌های گرفته شده را از مقیاس رنگی (RGB) به مقیاس خاکستری (Gray scale) تبدیل کرده‌ایم. در شکل ۱، طرحواره مربوط به نحوه قرارگیری دوربین و چگونگی نگاهشده شدن نور پراکنده شده از یک تکه ابر به یک پیکسل دوربین نمایش داده شده است. با توجه به مشخصات دوربین استفاده شده و با فرض این که فاصله ابرهای کومه‌ای تا دوربین حدود ۲۰۰۰ متر است، اندازه هر تکه ابر که به یک پیکسل دوربین $(3.9 \times 3.9 \mu m^2)$ نگاشته می‌شود، حدود $16 \times 16 cm^2$ است. نمونه‌ای از توزیع شدت ثبت شده از یک ابر در شکل ۲-الف نمایش داده شده است. در شکل ۲-ب ناحیه‌های هم‌شدت مربوط به شکل ۲-الف با استفاده از حلقه‌های بسته از هم جدا شده است. در ادامه به تحلیل سطوح به دست آمده از تصاویر بر اساس نظریه سطوح زبر می‌پردازیم.

سطوح زبر دوبعدی با استفاده از میدان اسکالر افت‌وخیزدار $f(\vec{r})$ ، ارتفاع سطح در نقطه \vec{r} ، توصیف می‌شوند. به طور کلی هر میدان اسکالر را می‌توان معادل یک ارتفاع در نظر گرفت و هر سطح دلخواه را به یک سطح زبر نگاشت کرد. در این مطالعه لگاریتم شدت نور رسیده به هر پیکسل به عنوان میدان افت‌وخیزدار تعریف می‌شود:

توزیع، از تبدیل $f \rightarrow f - f_0$ استفاده کرده‌ایم که در آن $f_0 = \log I_0$ و I_0 شدت متوسط در ناحیه داخلی ابر است. در واقع شدت نور نسبت به I_0 سنجیده می‌شود. مشاهدات ما نشان می‌دهد که تابع توزیع لگاریتم شدت گاوسی نیست. این موضوع در شکل ۳-ب به تصویر کشیده شده است. در قسمت اصلی این شکل تابع توزیع موضعی f در مقیاس نیم‌لگاریتمی نمایش داده شده است که به وضوح گاوسی نیست. این تابع در حوالی صفر در مقیاس بیان شده تقریباً خطی است که شاهد نمایی بودن آن در حوالی شدت میانگین است.

برای بررسی دقیق‌تر موضوع و گاوسی یا غیر گاوسی بودن این سیستم، انحناى موضعی (Local curvature) را بررسی می‌کنیم که در موقعیت \vec{r} و مقیاس b به صورت زیر تعریف می‌شود (کاندو و همکاران، ۲۰۰۰):

$$C_b(\vec{r}) = \sum_{m=1}^M (f(\vec{r} + b\hat{e}_m) - f(\vec{r})). \quad (6)$$

در این رابطه مجموعه جهت‌های $\{\hat{e}_1, \hat{e}_2, \dots, \hat{e}_M\}$ بردارهای یکه ثابتی هستند که مجموع آنها صفر است. اگر سطح زبری گاوسی باشد، تابع توزیع انحناى موضعی $P(C_b)$ گاوسی خواهد بود (کاندو و همکاران، ۲۰۰۰). همچنین اگر میدان مورد نظر تقارن انعکاسی $(f(\vec{r}) \leftrightarrow -f(\vec{r}))$ داشته باشد تمام گشتاورهای فرد $\langle C_b^q \rangle$ (به ازای q های فرد صفر) خواهد بود. علاوه بر این برای آزمایش گاوسی بودن یک توزیع می‌توان رابطه زیر را بررسی کرد:

$$F_b = \frac{\langle C_b^4 \rangle}{\langle C_b^2 \rangle^2} \quad (7)$$

این تابع، برای یک کمیت با توزیع گاوسی، مقدار عددی ۳ می‌شود که یک معیار مهم برای گاوسی بودن محسوب می‌شود. در نمودار داخلی بالای شکل ۳-ب این تابع برای $b = 10$ رسم شده است. به وضوح دیده می‌شود که تابع توزیع انحناى موضعی گاوسی نیست. همچنین تابع توزیع C_b در نمودار داخلی پایین شکل ۳-ب نمایش داده شده است که مشخص می‌کند این تابع دارای شکل $P(C_b) \sim \exp(-a|C_b|)$ است و گاوسی نیست.

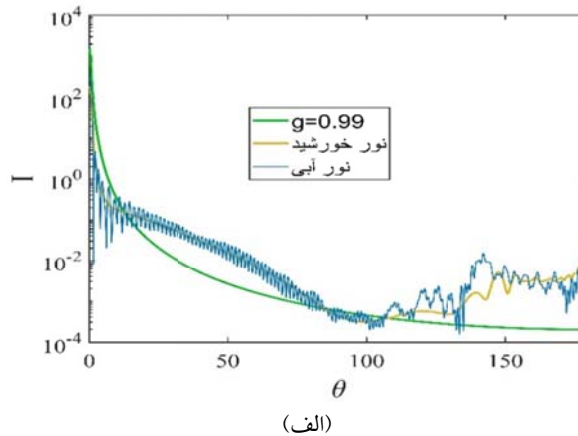
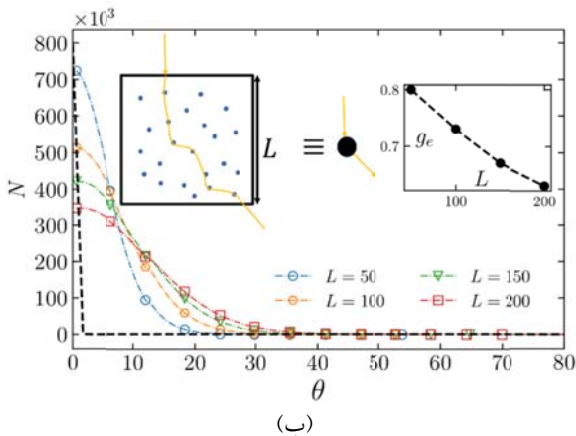
(Global roughness exponent) نامیده می‌شود. این تابع در شکل ۳ تحلیل شده است. در نمودار داخلی شکل ۳-الف، $W(L)$ بر حسب L در مقیاس تمام لگاریتمی رسم شده است و نمای $\alpha_g = 0.63 \pm 0.05$ را به دست می‌دهد. برای سطوح خودمتشابه تک برخالی داریم $\alpha_l = \alpha_g = \alpha$ باشد (کاندو و همکاران، ۲۰۰۰). با مقایسه این دو نما مشخص می‌شود که آنها در بازه خطای میله‌ای همدیگر قرار دارند و در نتیجه میدان $f(\vec{r})$ توصیف گر یک سطح تک برخالی است.

یکی از سوالات متداول در زمینه سطوح زبر، گاوسی یا غیر گاوسی بودن آنهاست. کلاس گسترده‌ای از سطوح زبر که گاوسی نامیده می‌شوند با تابع توزیع زیر بیان می‌شوند (کاندو و همکاران، ۲۰۰۰):

$$P\{f\} \sim \exp\left[-\frac{k}{2} \int_0^A q^{2(1+\alpha)} f(q) f(-q) d^2q\right] \quad (8)$$

که در آن $f(q)$ تبدیل فوریه $f(\vec{r})$ است و Λ تکانه برشی پیشینه و k پارامتر سختی است. خوشبختانه معیارهای ساده‌ای برای تشخیص اینکه آیا سطح زبری مطابق این الگو رفتار می‌کند یا خیر وجود دارد که ساده‌ترین آن تابع توزیع میدان است. برای اینکه یک سطح گاوسی باشد بایستی تابع توزیع میدان موضعی $(P(f))$ گاوسی باشد. این تابع در شکل ۳-ب نمایش داده شده است. همان‌طور که در این شکل مشاهده می‌کنیم این تابع غیر گاوسی است، که خود نشان می‌دهد ما با یک سطح زبر خود-متشابه غیر گاوسی سروکار داریم.

قبل از بررسی تابع توزیع لگاریتم شدت، اشاره به این نکته ضروری است که شدت تصویر شده بر روی صفحه عکس بین صفر تا ۲۵۶ مقیاس شده است (این کار به‌طور اتوماتیک توسط دوربین انجام می‌شود) که نیاز به توجه دارد. این بازمقیاس برای عکس‌های مختلف یکسان و ثابت است. فرض کنید شدت I با فاکتور λ بازمقیاس شود، به طوری که $f \rightarrow f + \log \lambda$. بنابراین این تغییر، با توجه به تعریف زبری موضعی و سرتاسری، تغییری در این توابع ایجاد نمی‌کند. برای پرهیز از بروز مشکل در فرم تابع



شکل ۴. شدت پراکندگی برای زاویه‌های مختلف بر حسب درجه. الف) درشت‌دانه کردن به‌ازای طول‌های مختلف و پیداکردن g_e مؤثر شکل داخلی راست: رفتار g_e برحسب L های مختلف شکل داخلی چپ: طرحواره درشت‌دانه‌کردن ب) پراکندگی می برای نور خورشید و آبی و تقریب هنی-گرینشتاین با $g = 0.99$

برای دو منبع نور خورشید و نور زمینه آبی آسمان با تقریب هنی-گرینشتاین در شکل ۵-الف دیده می‌شود در $g = 0.99$ بهترین برازش به‌دست می‌آید (بوئورس و همکاران، ۲۰۰۸). شبیه‌سازی چنین سیستمی بسیار مشکل است، زیرا به‌دلیل احتمال بسیار پایین پراکندگی در زوایای بزرگ (~ یک در یک میلیون برخورد)، سیستم مورد نظر بایستی اندازه خطی بسیار بزرگی داشته باشد (که در آن از مرتبه چند ده میلیون برخورد اتفاق بیفتد) تا پدیده چند پراکندگی را در ابرها تحقق یابد. به‌عبارتی چندپراکندگی مربوط به زاویه‌های پراکندگی بزرگ در برخوردهای محدود مورد استفاده در شبیه‌سازی‌ها عملاً امکان‌پذیر نیست. برای رهایی از این مشکل و افزایش قدرت محاسباتی نیازمند درشت‌دانه‌کردن سیستم هستیم که به‌وسیله آن می‌توان تابع توزیع زاویه مؤثر را برای سیستم محاسبه کرد. می‌توان دید که با این کار، شبیه سازی با تعداد محدود ذرات و نور فرودی ممکن می‌شود. در این دیدگاه ابر را به تکه‌هایی بخش می‌کنیم که هر تکه از تعداد بسیار زیادی ذره تشکیل شده است، که این تعداد در مقایسه با تعداد کل ذرات در ابر ناچیز است. در حقیقت به‌جای پراکندگی نور از تک ذرات، پراکندگی نور را از تکه‌های گفته شده در نظر می‌گیریم.

تا اینجای کار لگاریتم شدت را مورد بررسی قرار دادیم. در قسمت بعد به بررسی ارتباط شدت و ضخامت می‌پردازیم.

۳. شبیه‌سازی پراکندگی نور از ابر

همان‌گونه که در بخش اول گفته شد، پراکندگی نور داخل ابر از پراکندگی می‌پروی می‌کند. وجود پرتوهای بی‌شماری که از خورشید و آسمان آبی به ابر می‌رسد و همچنین تعداد زیادی قطرات آب و بخار داخل ابر، شبیه‌سازی حرکت نور داخل آن را به شدت پیچیده می‌کند. در شکل ۴، پراکندگی نور از قطرات آب نمایش داده شده است. در شکل ۴-الف توزیع پراکندگی می مربوط به یک باریکه از یک قطره آب به شعاع 10mm را برای دو باریکه خورشید و نور آبی آسمان نشان می‌دهد. این تابع توزیع پراکندگی عموماً با تابع هنی-گرینشتاین (Henyey-Greenstein) (مکس، ۱۹۹۵) که به‌صورت زیر تعریف می‌شود، تقریب زده می‌شود:

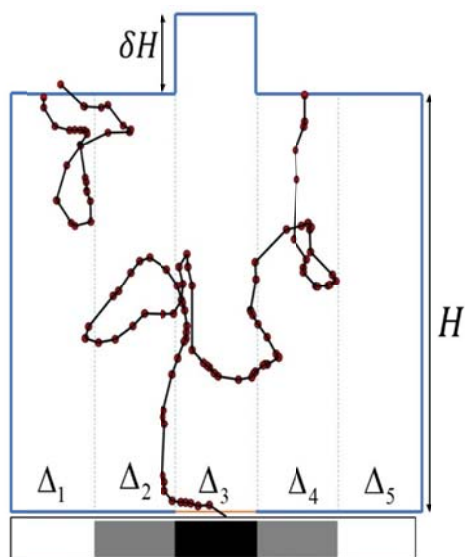
$$P(\theta) \propto \frac{1-g^2}{(1+g^2-2g\cos(\theta))^{3/2}} \quad (8)$$

برای ساده‌سازی از توابع دیگری همچون تابع گاوسی (پرموز و همکاران، ۲۰۰۴) نیز استفاده می‌شود که از جامعیت رابطه بالا برخوردار نیست. مقایسه پراکندگی می

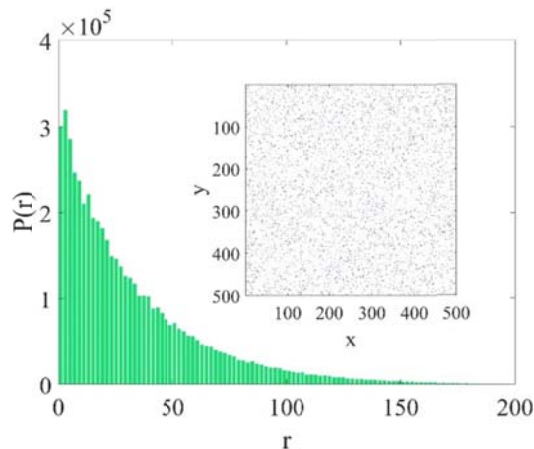
ابر را به تکه‌های کوچک‌تری تقسیم می‌کنیم و پراکندگی را از این تکه‌ها در نظر می‌گیریم. مسافت آزاد میانگین را مسافتی در نظر می‌گیریم که نور بین دو پراکندگی طی می‌کند که به چگالی تعداد قطرات در محیط و فاصله مؤثر تکه‌ها از هم بستگی دارد. ما تکه‌ها را با ابعاد 20mm در نظر می‌گیریم که برای آن $g_e = 0.85$. چگالی تکه‌ها را به گونه‌ای در نظر گرفته‌ایم که فاصله متوسط تکه‌ها از یکدیگر 20mm باشد. در شکل داخلی شکل ۶-الف سیستمی به ابعاد 512×512 را در نظر گرفته‌ایم که در آن تکه‌های گفته‌شده به صورت تصادفی توزیع شده‌اند. تابع توزیع مسافت آزادی که نور در بین هر دو برخورد را می‌پیماید را در شکل ۶-الف نشان داده‌ایم که برای شبیه‌سازی از آن استفاده کرده‌ایم. برای بررسی تأثیرات افت و خیز رویه‌ی بالایی ابر، همان گونه که در شکل ۶-ب به صورت طرحواره نشان داده شده است، قسمتی از ابر را به ارتفاع δH بلندتر از اطراف آن در نظر می‌گیریم (که آن را برآمدگی می‌نامیم) و اثر تغییرات ارتفاع را در شدت نور دریافتی در انتهای ابر را بررسی کنیم. برای این منظور دو حالت را در نظر می‌گیریم، نوری که از آسمان به صورت عمودی وارد ابر می‌شود و نوری که با زاویه φ وارد ابر می‌شود و در بخش خروجی، تعداد نوری که به صورت عمود از سیستم خارج می‌شود را با در نظر گرفتن مقدار مشخص اتلاف در هر برخورد اندازه‌گیری می‌کنیم. برای هر دو حالت عرض سیستم را به پنج بخش تقسیم می‌کنیم که یک بازه Δz در شکل نمایش داده شده) دقیقاً در زیر برآمدگی (به ارتفاع δH) قرار دارد. شبیه‌سازی را برای $g_e = 0.85$ و زاویه‌های ورودی $\varphi = \frac{\pi}{6}$ (برای نور خورشید) و $\varphi = 0$ (برای نور آبی) انجام می‌دهیم.

چنین تکه‌ای در طرحواره شکل ۴-ب نمایش داده شده است که دارای طول خطی L است. فاصله متوسط ذرات از یکدیگر در ابرهای کومولوس دو میلی‌متر است (دوربین، ۱۹۵۹). ما برای راحتی سیستم دو بعدی را در نظر می‌گیریم که در آن هر تکه از تعدادی ذره تشکیل شده است که به طور تصادفی در جعبه‌ای با طول خطی L و چگالی (سطحی) تعداد ثابت $\text{قطره}/\text{mm}^2 = 0.25$ در نظر گرفته شده است. برای به دست آوردن پراکندگی مؤثر از این تکه‌ها، سیستمی با طول L های مختلف (که بر حسب میلی‌متر است) را در نظر گرفته‌ایم و شدت پراکندگی را در زوایای مختلف به دست آورده‌ایم. نتایج این شبیه‌سازی در شکل ۴-ب نمایش داده شده است. این توابع با تابع هنی-گرینشتاین به خوبی برازش می‌شود، که g_e (مؤثر) را به صورت تابعی از L به دست می‌دهد. در شکل ۵-ب رفتار g_e بر حسب L قابل مشاهده است. کاهش g_e بر حسب L نشان می‌دهد که توزیع پراکندگی یکنواخت تر می‌شود و احتمال پراکندگی به زوایای بزرگ‌تر، بیشتر می‌شود. برای $L = 20\text{mm}$ (که مشاهدات ما نشان می‌دهد پی از آن چند-پراکندگی مهم می‌شود)، داریم $g_e \approx 0.85$ که در شبیه‌سازی‌های بعدی از آن بهره می‌گیریم. در ابرهای کومه‌ای بازای $L \approx 10 - 20\text{m}$ ، g_e آنچنان کوچک می‌شود که پراکندگی عملاً جهت مرجحی ندارد (ابر سفید دیده می‌شود؛ بوئورس و همکاران، ۲۰۰۸) و می‌توان برای شبیه‌سازی آن از ولگشت تصادفی استفاده کرد.

با داشتن g_e برای مدل درشت‌دانه‌شده، حال به سراغ شبیه‌سازی حرکت نور داخل ابر می‌رویم که تابع توزیع پراکندگی در آن با رابطه هنی-گرینشتاین داده می‌شود. همان‌طور که در بالا بیان شد، در این مدل درشت‌دانه‌شده



(ب)



(الف)

شکل ۵. الف) تابع توزیع مسافت آزاد حرکت نور. نمودار داخلی نشان‌دهنده ذرات که به صورت تصادفی داخل شبکه پخش شده‌اند. ب) طرح وارهای از محیط داخل ابر به ارتفاع H ، قسمت جدا شده با ارتفاع δH و تقسیم‌بندی انتهایی به بخش‌های مختلف برای بررسی نور خروجی.

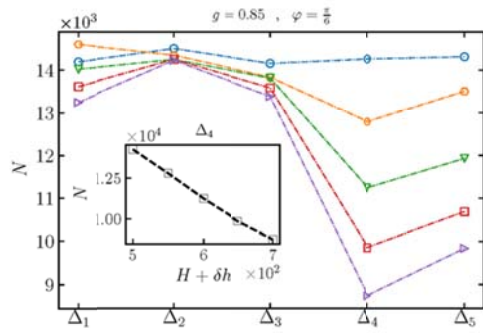
مشابه حالت $\varphi = 0$ کاهش شدت با افزایش δH با رابطه ۷ مشخص می‌شود. در این حالت نیز مقدار فوتون خروجی Δ_3 و Δ_4 به صورت نمایی با δH کاهش می‌یابد. در شکل ۶-ب مجموع فوتون‌های خروجی را برای ترکیب دو حالت نمایش $(N_{\varphi=0} + N_{\varphi=\frac{\pi}{6}})$ داده شده است. همان‌گونه که در این شکل دیده می‌شود در این حالت نیز بیشینه در بازه Δ_3 رخ می‌دهد و کاهش شدت بر حسب δH مشابه دو حالت قبل از رابطه ۷ پیروی می‌کند. توجه شود که برای دو حالت متفاوت است و در حالت کلی $(\text{آبی}) g_e < g_e(\text{خورشید})$ که نشان می‌دهد پراکندگی نور خورشید به واسطه قطرات همسانگردتر است و هرچه همسانگردی بیشتر باشد، حساسیت تعداد فوتون خروجی به δH کمتر است. بنابراین با فرض شماره یکسان، رابطه شدت نور رسیده با ارتفاع ستون ابر به‌طور عمده تر ناشی از نور زمینه آسمان خواهد بود.

همان‌گونه که در شکل ۷-الف دیده می‌شود تعداد فوتون‌هایی که به صورت عمودی خارج می‌شوند (N) برای حالتی که $\varphi = 0$ است با افزایش δH شدت نور دریافتی درست پایین برآمدگی (Δ_3) کاهش می‌یابد.

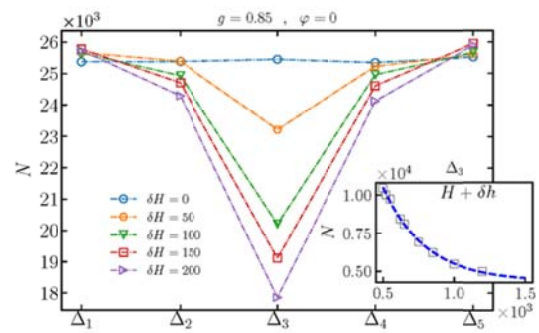
این کاهش در نمودار داخلی شکل ۷-الف نشان داده شده است که به صورت نمایی با $H + \delta H$ به صورت زیر است:

$$N \propto a \exp(-b(H + \delta H)) + c \quad (9)$$

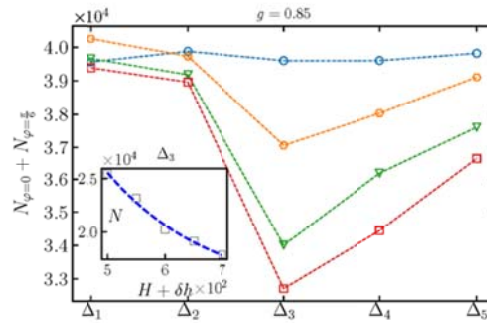
که در آن $a \approx 1.8 \times 10^5$ و $b \approx 5 \times 10^{-3}$ و برای $c \approx 1.4 \times 10^4$. این رابطه نشان‌دهنده این واقعیت است که در نهایت با افزایش زیاد δH ، این کمیت تأثیری در نور دریافتی در انتهای سیستم نخواهد داشت و شدت نور خروجی مقدار ثابت b خواهد بود. شکل ۷-ب تغییرات نور دریافتی در بازه‌های مختلف را برای نور ورودی با زاویه $\varphi = \frac{\pi}{6}$ نشان می‌دهد با این تفاوت که در این حالت شدن نور خروجی در بخش Δ_4 بیشینه است و



(ب)



(الف)

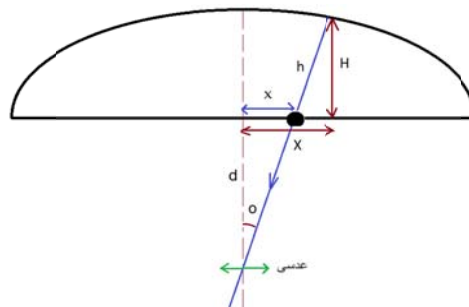


(ج)

شکل ۶. شدت نور خروجی برحسب بازه‌های مشخص شده در شکل ۶-ب، به‌ازای δH مختلف با $g = 0.85$ برای الف) زاویه ورودی مستقیم با $\phi = 0$ ب) زاویه مورب $\phi = \frac{\pi}{6}$ نسبت به خط عمود و ج) مجموع دو حالت قبلی. نمودارهای داخلی نشان‌دهنده رفتار نقطه ماکزیمم بر حسب $H + \delta H$ را نشان می‌دهد.

زیرین ابر باشد. برای درک این موضوع، فرض کنید که نور در میانه ابر کاملاً یکنواخت شده باشد. آنگاه مقدار شدت نور رسیده از یک ناحیه زیر ابر ناشی از ستون ابری است که بین ناحیه میانی و انتهای زیرین ابر قرار دارد. آنگاه تمام آنالیز ارائه‌شده در بالا، برای رویه زیرین ابر برقرار خواهد بود.

بدیهی است حوزه اعتبار نتایج بالا محدود است. برای مثال اگر ضخامت ابر زیاد باشد، همان‌طور که در بالا بیان شد فرایند پراکندگی تبدیل به قدم‌های تصادفی می‌شود که این خود باعث می‌شود اطلاعات رویه بالای ابر به واسطه همسانگردی پراکندگی نور گم شوند. در این حالت الگوهای شدت نور رسیده از ابر می‌تواند ناشی از رویه



شکل ۷. طرحواره باریکه‌ای که به‌طور غیرعمودی به دورین می‌رسد. این باریکه از دایره توپر (در زیر ابر که صاف فرض شده است) از ابر جدا شده و با زاویه θ نسبت به راستای عمود به دورین می‌رسد. با استفاده از محاسبات هندسی، با داشتن x و h می‌توانیم به سادگی X و H را استخراج نماییم، به متن بنگرید.

نکته بعدی در ارتباط با زاویه نور رسیده از ابر است که ممکن است کاملاً عمودی نباشد (شکل ۳-ب). اولاً باید تصریح کنیم که عکس‌ها تا حد ممکن عمودی گرفته شده‌اند. همچنین زوایایی که با لنز پوشش داده شده اند، کوچک بوده‌اند. از آنجایی که یک حساب مثلثاتی ساده به ما نشان می‌دهد نتایج ما تا مرتبه دوم انحراف زاویه صحیح است، با فرض کوچک بودن این انحرافات، نتایج تحلیلی ما تغییر فاحشی نمی‌کنند. البته می‌توان تصحیحات ناشی از این موضوع را نیز در تحلیل اضافه کرد. در شکل ۷، طرحواره این موضوع نمایش داده شده است. به راحتی دیده می‌شود برای به دست آوردن ارتفاع صحیح باید

$$(x, h) \rightarrow \left(x + \frac{h}{d} \frac{x}{\sqrt{1+(\frac{x}{d})^2}}, \frac{h}{\sqrt{1+(\frac{x}{d})^2}} \right). \quad (10)$$

توجه شود که در اینجا، h ارتفاع ستون ابر است که در قسمت قبل مورد بررسی قرار گرفت. همچنین x فاصله افقی از مرکز ابر می‌باشد که با استفاده از ضریب درشت نمایی لنز دوربین به دست می‌آید. بررسی‌های ما نشان می‌دهد با این تبدیل، تا جایی که خطاها به ما اجازه می‌دهند، تغییری ایجاد نمی‌شود.

جدول ۱. شرایط آب‌وهوایی که عکس‌ها در آن گرفته شده است. φ زاویه بین نور خورشید و بردار عمود بر زمین است.

داده سال (۱۳۹۷)	دما (درجه سانتیگراد)	نقطه شبنم (درجه سانتیگراد)	رطوبت %	فشار (اینچ جیوه)	سرعت باد (مایل بر ساعت)	بارش	درجه (φ)
۱۶ خرداد	۲۷-۲۰	۱۱-۶	۴۶-۲۵	۲۵/۷	۱۶-۷ (WNW)	۰/۰	۱۵:۵۰ - ۳۸:۲۰
۱۹ خرداد	۱۹-۱۷	۱۴-۱۲	۷۳-۶۸	۲۵/۶	۱۸-۱۲ (ENE)	۰/۰	۱۵:۴۰ - ۳۸:۰۰
۲۰ خرداد	۱۶-۲۱	۹-۱۱	۷۲-۵۰	۲۵/۵	۲۰-۵ (E)	۰/۰	۱۵:۴۰ - ۳۸:۰۰
۲۴ خرداد	۱۷-۲۳	۱۰-۱۲	۶۸-۵۰	۲۵/۶	۱۶-۹ (ENE)	۰/۰	۱۵:۳۰ - ۳۷:۴۰
۲۶ خرداد	۱۹-۲۵	۱۰-۱۲	۶۰-۴۱	۲۵/۵	۷-۵ (WNW)	۰/۰	۱۵:۲۰ - ۳۷:۳۰
۲۸ خرداد	۲۵-۲۱	۱۰-۱۲	۵۳-۴۴	۲۵/۵	۱۴-۱۲ (E)	۰/۰	۱۵:۲۰ - ۳۷:۳۰
۳۱ خرداد	۲۲-۱۵	۶-۵	۵۱-۳۳	۲۵/۷	۱۸-۷ (NE)	۰/۰	۱۵:۲۰ - ۳۷:۲۰
۲ تیر	۲۰-۲۴	۳-۴	۳۳-۲۵	۲۵/۶	۱۸-۷ (E)	۰/۰	۱۵:۲۰ - ۳۷:۱۰
۳ تیر	۲۲-۲۵	۶-۱۰	۳۹-۳۱	۲۵/۶	۱۴-۵ (ENE)	۰/۰	۱۵:۲۰ - ۳۷:۱۰
۵ تیر	۲۰-۲۷	۸-۱۰	۴۴-۳۰	۲۵/۶	۱۸-۲ (ESE)	۰/۰	۱۵:۲۰ - ۳۷:۱۰
۷ تیر	۲۱-۲۷	۹-۱۰	۴۶-۳۰	۲۵/۶	۱۰-۷ (SE)	۰/۰	۱۵:۴۰ - ۳۷:۰۰
۹ تیر	۳۲-۳۱	۹-۱۳	۳۵-۲۴	۲۵/۵	۱۴-۷ (ENE)	۰/۰	۱۵:۴۰ - ۳۷:۰۰
۱۱ تیر	۳۲-۳۱	۶-۱۱	۲۹-۲۱	۲۵/۷	۲۰-۱۸ (ENE)	۰/۰	۱۵:۵۰ - ۳۷:۰۰
۱۳ تیر	۳۲-۳۱	۶-۴	۲۰-۱۶	۲۵/۶	۲۰-۱۸ (E)	۰/۰	۱۶:۰۰ - ۳۷:۲۰
۱۶ تیر	۲۳-۲۱	۱۶-۲۱	۷۳-۶۵	۲۵/۵	۱۸-۱۲ (ENE)	۰/۰	۱۶:۲۰ - ۳۷:۲۰

۴. نتیجه‌گیری

کومه‌ای سطوح تصادفی خود متشابهی را تشکیل می‌دهند که بر خلاف بسیاری از سطوح زبر مرسوم در مکانیک آماری گاوسی نیستند. سپس به منظور یافتن ارتباط با ضخامت ابر، به بررسی جذب و انعکاس تابش توسط ابر پرداختیم و مدلی درشت دانه شده را برای این منظور طراحی کردیم. با استفاده از شبیه‌سازی نشان دادیم که شدت نوری که به زمین می‌رسد به صورت نمایی به ضخامت برآمدگی ابر درست بالای ناحیه مورد نظر بستگی دارد. در نتیجه لگاریتم شدت که به ارتفاع ابر نسبت داده شده بود می‌تواند نشان‌دهنده ارتفاع ابر باشد. این قسمت از مقاله شامل تقریب‌ها و فرضیاتی است که دامنه اعتبار آن‌را محدود می‌کند. در انتهای مقاله به بررسی جوانب این محدودیت‌ها پرداخته‌ایم.

مراجع

- Barabási, A. L. and Stanley, H. E., 1995, Fractal concepts in surface growth, Cambridge university press.
- Bouchaud, E., Lapasset, G. and Planes, J., 1990, Fractal dimension of fractured surfaces: a universal value?, EPL (Europhysics Letters), p. 73.
- Bouchaud, E., Lapasset, G., Planes, J. and Naveos, S., 1993, Statistics of branched fracture surfaces, physical Review B, 48(5), p. 29174.
- Bouthors, A., Neyret, F., Max, N., Bruneton, E. and Crassin, C., 2008, Interactive multiple anisotropic scattering in clouds, Proceedings of the 2008 symposium on Interactive 3D graphics and games, (p. 173-182).
- Cardoso, O., Gluckmann, B., Parcollet, O. and Tabeling, P., 1996, Dispersion in a quasi-two-dimensional-turbulent flow: An experimental study, Physics of Fluids, 8(1), 209-214.
- Durbin, W. G., 1959, Droplet sampling in cumulus clouds, Tellus, 11.2, 202-215.
- Hentschel, H. G. E. and Procaccia, I., 1984, Relative diffusion in turbulent media: the fractal dimension of clouds, Physical Review A, 29(3), 1461.
- Kondev, J., Henley, C. L. and Salinas, D. G., 2000, Nonlinear measures for characterizing rough surface morphologies, Physical Review E, 61(1), p. 104.
- Levin, L. M., 1958, Functions to represent drop size distribution in clouds, the optical density of clouds. Izv. Akad. Nauk. SSSR, Ser. Geofiz 10 198-702.
- Lovejoy, S., 1982, Area-perimeter relation for rain and cloud areas, Science, 216(4542), 185-187.
- Lovejoy, S. and Schertzer, D., 1991, Multifractal analysis techniques and the rain and cloud fields from 10^{-3} to 10^6 m, Non-Linear Variability in Geophysics, 111-144 Springer, Dordrecht.
- Max, N., 1995, Efficient light propagation for multiple anisotropic volume scattering, Photorealistic Rendering Techniques, p. 87-104. Springer, Berlin, Heidelberg.
- Nagel, K. and Raschke, E., 1992, Self-organizing criticality in cloud formation?, Physica A: Statistical Mechanics and its Applications, 182(4), 519-531.
- Najafi, M. N., Cheraghalizadeh, J., Luković, M., and Herrmann, H. J., 2020, Geometry-induced nonequilibrium phase transition in sandpiles, Physical Review E, 101(3), 032116.
- Pelletier, J. D., 1997, Kardar-Parisi-Zhang scaling of the height of the convective boundary layer and fractal structure of cumulus cloud fields, Physical review letters, 78(13), p. 2672.
- Plass, G. N. and Kattawar, G. W., 1971, Radiative transfer in water and ice clouds in the visible and infrared region, Applied Optics, 10(4), 738-748.
- Premože, S., Ashikhmin, M., Tessoroff, J., Ramamoorthi, R. and Nayar, S. 2004,

در قسمت اول مقاله عکس‌های گرفته شده از ابرهای کومه‌ای را از مقیاس رنگی به مقیاس خاکستری تبدیل کرده و در هر پیکسل لگاریتم شدت (f) را به دست آوردیم. با استفاده از تکنیک‌های تحلیل سطوح زبر، رابطه همبستگی f را محاسبه کردیم که نمای زبری محلی را مشخص می‌کند. نشان دادیم سیستم مورد بررسی یک سطح تصادفی مقیاس ناورد (خودمتشابه) است و نمای زبری موضعی (محلی) برای آن $\alpha_l = 0.67 \pm 0.05$ است. همچنین با محاسبه واریانس کل را محاسبه کردیم، که نمای زبری سرتاسری به دست می‌دهد. به این نتیجه رسیدیم که $\alpha_g = \alpha_l = \alpha$ است که نشان‌دهنده آن است که سیستم تک برخالی می‌باشد. با تحلیل توابع مختلف دیگر (تابع توزیع f و انحنای موضعی) نشان دادیم که این سطوح گاوسی نیستند. این نشان می‌دهد که ابرهای

- Practical rendering of multiple scattering effects in participating media. Proceedings of the Fifteenth Eurographics conference on Rendering Techniques, p. 363-374.
- Ramshankar, R. and Gollub, J. P., 1991, Transport by capillary waves. Part II: Scalar dispersion and structure of the concentration field, *Physics of Fluids A: Fluid Dynamics*, 3(5), pp. 1344-1350.
- Rys, Franz, S. and Waldvogel, A., 1986, Fractal shape of hail clouds, *Physical review letters*, 56(7), p. 784.
- Sánchez, N., Alfaro, E. J. and Pérez, E., 2005, The fractal dimension of projected clouds. *The Astrophysical Journal*, 625(2), 849.
- Thekkekara, L. V. and Gu, M., 2017, Bioinspired fractal electrodes for solar energy storages, *Scientific reports*, 7, 45585.
- Twomey, S., Jacobowitz, H. and Howell, H. B., 1967, Light scattering by cloud layers. *Journal of the Atmospheric Sciences*, 24(1), 70-79.
- Wright, W. B., Budakian, R., Pine, D. J. and Putterman, S. J., 1997, Imaging of intermittency in ripple wave turbulence, *Science*, 278(5343), pp. 1609-1612.

Cumulus Clouds from the rough surface perspective

Cheraghizadeh, J.¹, Nattagh Najafi, M.^{2*} and Saber Tazehkand, A.³

1. Ph.D. Student, Department of physics, University of Mohaghegh Ardabili, Ardabil, Iran

2. Associate Professor, Department of physics, University of Mohaghegh Ardabili, Ardabil, Iran

3. Assistant Professor, Department of physics, University of Mohaghegh Ardabili, Ardabil, Iran

(Received: 11 Oct 2020, Accepted: 24 Jan 2021)

Summary

Although it is well-known the clouds show a fractal geometry for a long time, their detailed analysis is missing in the literature yet. Within scattering of the received radiation from the sun, clouds play a very important role in the energy budget in the earth atmosphere. It was shown that the surface fluctuations and generally the statistics of the clouds has a very important impact on the scattering and the absorption of the radiation of the sun. In this paper we first study the relation between the visible light intensity and the width of the cumulus clouds. To this end, we find that the received intensity is $g(\varphi, H) \exp(-k'h)$, where $g(\varphi, H) \equiv \sigma(\varphi) \left(\frac{1 - \exp(-k(\varphi)H)}{k(\varphi)} \right)$, $k(\varphi) \equiv k_{tot} \left(\sec \varphi - 1 - \frac{g}{k_{tot} R_d \bar{T}_v} \right)$, and $k' \equiv k_{tot} \left(1 + \frac{g}{k_{tot} R_d \bar{T}_v} \right)$. To this end we supposed that the transmitted intensity of light from a column of cloud is proportional to $\exp(-k_{tot} z_h)$ where $k_{tot} = k_{abs} + k_{scat}$ (summation of the absorbed and the scattered contributions). Using this relation, we find a one to one relation between the cloud width and the intensity of the received visible light in low intensity regime. By calculating the Mie scattering cross sections for the physical parameters of the clouds, we argue that this correspondence works for thin enough clouds, and also the width of the clouds is proportional to the logarithm of the intensity. The Mie cross section is shown to behave almost like $\frac{1}{\varphi^3}$ for large enough φ s, where φ is the angle of radiation of sun with respect to earth's surface, or equivalently the cloud's base. This allows us to map the system to two-dimensional rough media. Then exploiting the rough surface techniques, we study the statistical properties of the clouds. We first study the roughness, defined for rough surfaces as $W(L) \equiv \langle [h(\vec{r}) - \bar{h}]^2 \rangle_L$. This study on the local and global roughness exponents (α_l and α_g respectively) show that the system is self-similar. We also consider the fractal properties of the clouds. Importantly by least square fitting of the roughness we show numerically that the exponents are $\alpha_l = 0.67 \pm 0.05$ and $\alpha_g = 0.63 \pm 0.05$. We study also the other statistical observables and their distributions. By studying the distribution of the local curvature (for various scales) and the height variable we conclude that these functions, and consequently the system is not Gaussian. Especially the distribution of the height profile follows the Weibull distribution, defined via the relation $P_W(x|\gamma, \rho) = \frac{\rho}{\gamma} \left(\frac{x}{\gamma} \right)^{\rho-1} \exp - \left(\frac{x}{\gamma} \right)^\rho$ for $x \geq 0$ and zero otherwise. The reasoning of how this relation arises is out of scope of the present work, and is postponed to our future studies. The studies on the local curvature, defined via $C_b(\vec{r}) = \sum_{m=1}^M (h(\vec{r} + b\hat{e}_m) - h(\vec{r}))$ reveals the same behaviors and structure. All of these show that the problem of the width of cumulus clouds maps to a non-Gaussian self-similar rough surface. Also we show that the system is mono-fractal, which requires $\alpha_g = \alpha_l$. Given these results, the authors think that the top of the clouds are anomalous random rough surfaces that affect the albedo of cloud fields.

Keywords: Cumulus clouds, visible light scattering from the cloud surface, self-similar random surfaces, fractals.

* Corresponding author:

nattagh.najafi@uma.ac.ir